

Wprowadzenie

Pokaz:

- wahadło matematyczne liniowe i nieliniowe
- symulacja wahadła matematycznego

Nazwa dziedziny:

- teoria chaosu
- dynamika układów nieliniowych

Jest częścią **Fizyki Układów Złożonych** ([Complex Systems](http://www.scholarpedia.org/article/Complex_systems) hyperlink: http://www.scholarpedia.org/article/Complex_systems)

Dział ten ma bardzo wiele zastosowań:

W układach fizycznych:

- Oscylacje nieliniowe różnych rodzajów
- Niestabilności (osobliwości) w przepływie ciepła oraz w hydrodynamice
- Przepływ prądu w nieliniowych układach elektrycznych (elektronicznych) w tym również w nadprzewodnikach
- Zjawiska w optyce (solitony optyczne, bistabilność optyczna)



W innych dziedzinach:

- Meteorologia i klimatologia
- Telekomunikacja, szyfrowanie danych
- Oscylacyjne reakcje chemiczne
- Elektrofizjologia serca, mięśni i naczyń krwionośnych
- Hemodynamika – opór obwodowy naczyń krwionośnych (fraktalność drzewa naczyniowego)
- Diagnostyka rytmu serca, nagłe zakończenie rytmu serca, ciągu potencjałów czynnościowych komórki itp.
- Neurologia i zjawiska w mózgu oraz układzie nerwowym

Na naszym Wydziale fizyką układów złożonych zajmują się:

- | | |
|-----------------------------|--|
| ♦ dr Agata Fronczak | fizyka statystyczna układów złożonych, zastosowania fizyki w ekonomii i socjologii |
| ♦ dr Piotr Fronczak | przejścia fazowe w sieciach złożonych, zastosowania fizyki w ekonomii i socjologii, algorytmy genetyczne |
| ♦ prof. Janusz Hołyst | sieci ewoluujące, sieci złożone, zastosowania fizyki w ekonomii i socjologii |
| ♦ prof. Robert Kosiński | sieci neuronowe, automaty komórkowe, rozwój epidemii chorób zakaźnych, sieci złożone, zastosowania fizyki w socjologii |
| ♦ dr hab. Andrzej Krawiecki | rezonans fal spinowych, rezonans stochastyczny, sieci ewoluujące, sieci złożone |

- ◆ dr Teodor Buchner
fizyka układu krążenia człowieka w tym zagadnienia fizyczne w regulacji ciśnienia tętniczego, oddziaływanie oddechu na rytm serca, modele fizyczne układu krążenia człowieka; dynamika symboliczna oraz analiza sygnałów pochodzących z aparatury medycznej

- ◆ dr Monika Petelczyc
procesy stochastyczne; ocena zdolności adaptacyjnych rytmu serca; analiza rytmu serca jako procesu stochastycznego; stochastyczne metody usuwania szumu z sygnału; pomiar składowej szumowej sygnału; biofizyka

- ◆ prof. Jan Żebrowski
fizyka układu krążenia, zjawiska fizyczne związane z rytmem serca i jego regulacją, procesy stochastyczne; modele rytmu serca i modele serca, modelowanie komórek serca jako ośrodków aktywnych; analiza stanów niestacjonarnych w układach dynamicznych, analiza fraktalna szeregów czasowych
nieodwracalność biegu w czasie procesów w organizmach żywych

Często spotykamy się z danymi pomiarowymi (a nawet obliczonymi w modelu teoretycznym), które wyglądają jak szum:

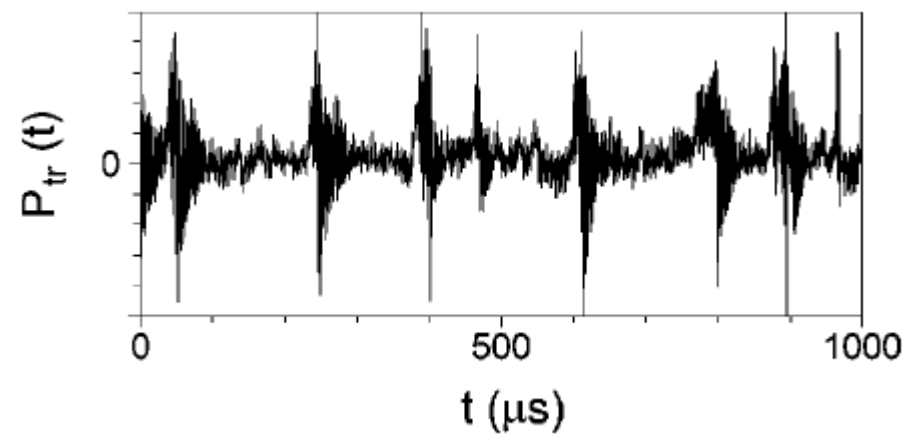
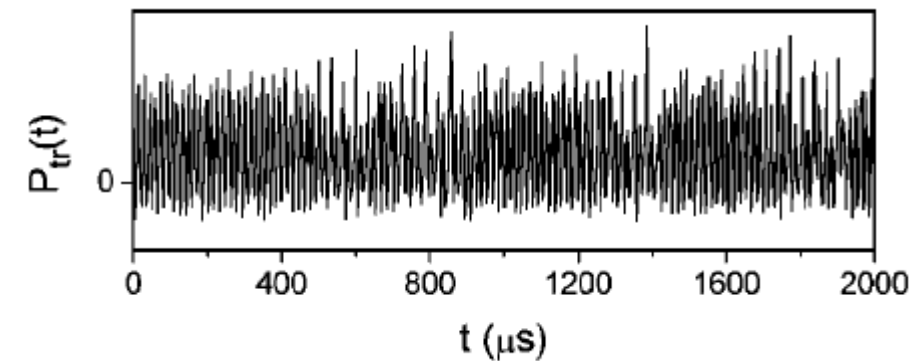
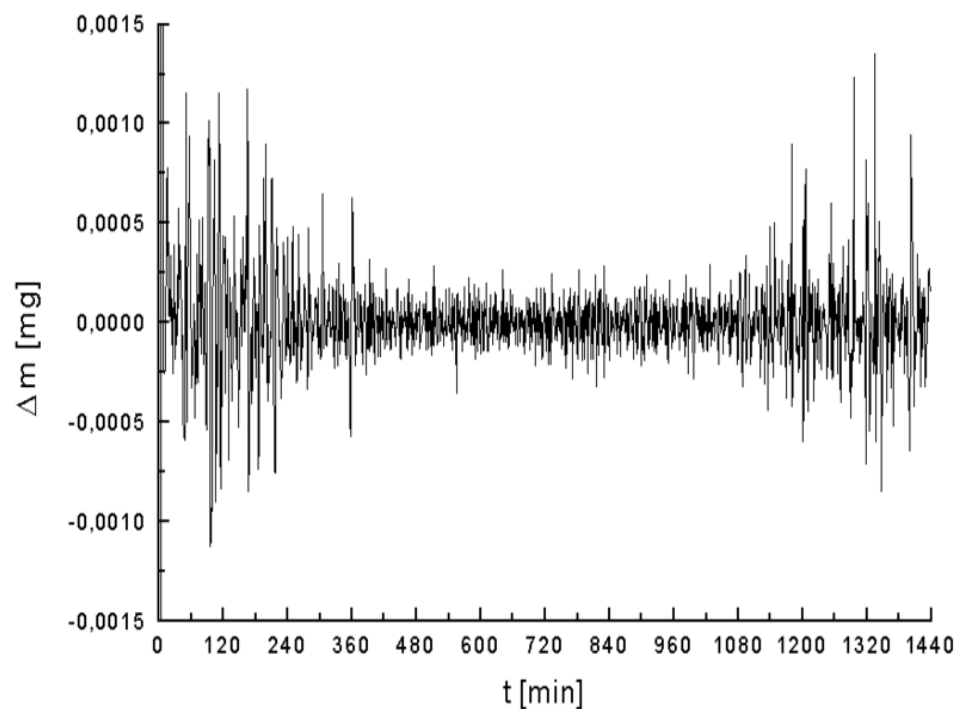
Sygnały te są:

- ◆ nieregularne (oko nie wyławia wzorca, zmian okresowych)
- ◆ nieprzewidywalne.

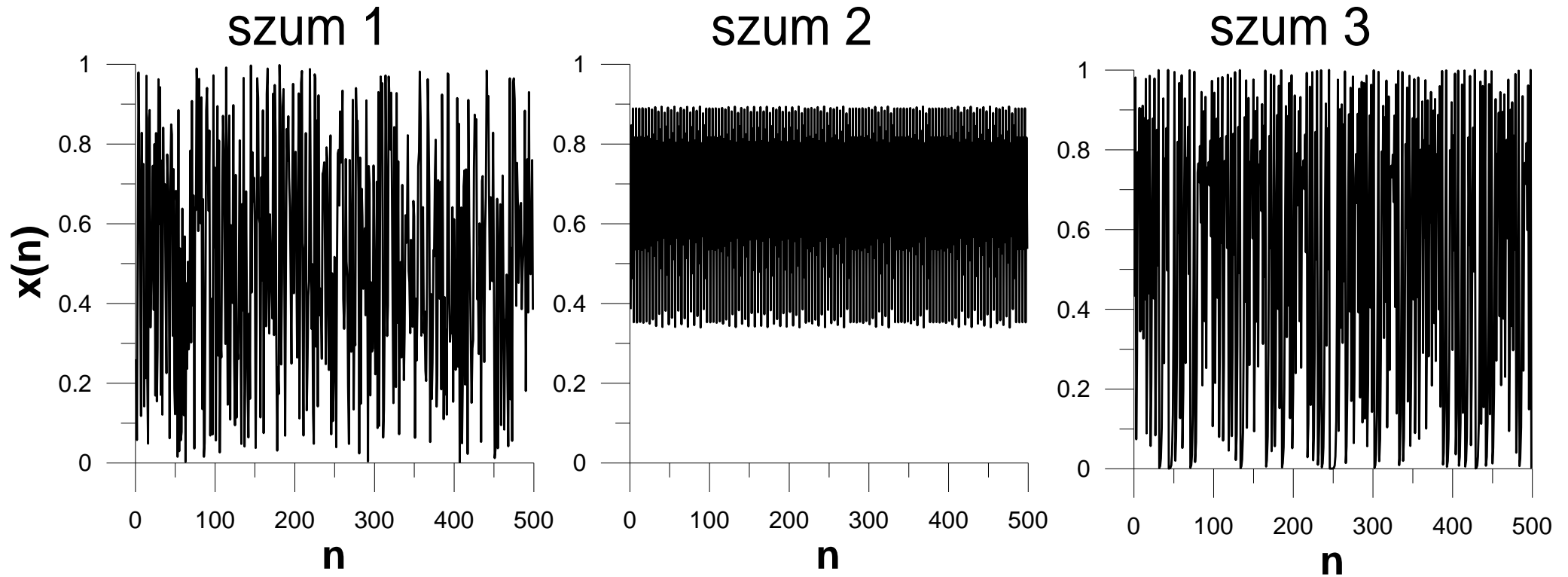
Przykład: dane [grawimetryczne](http://en.wikipedia.org/wiki/Gravimetric) (hyperlink: <http://en.wikipedia.org/wiki/Gravimetric>) w funkcji czasu;

moc pochłaniana w trakcie [rezonansu fal spinowych](http://en.wikipedia.org/wiki/Spin_wave)

{hyperlin: http://en.wikipedia.org/wiki/Spin_wave }



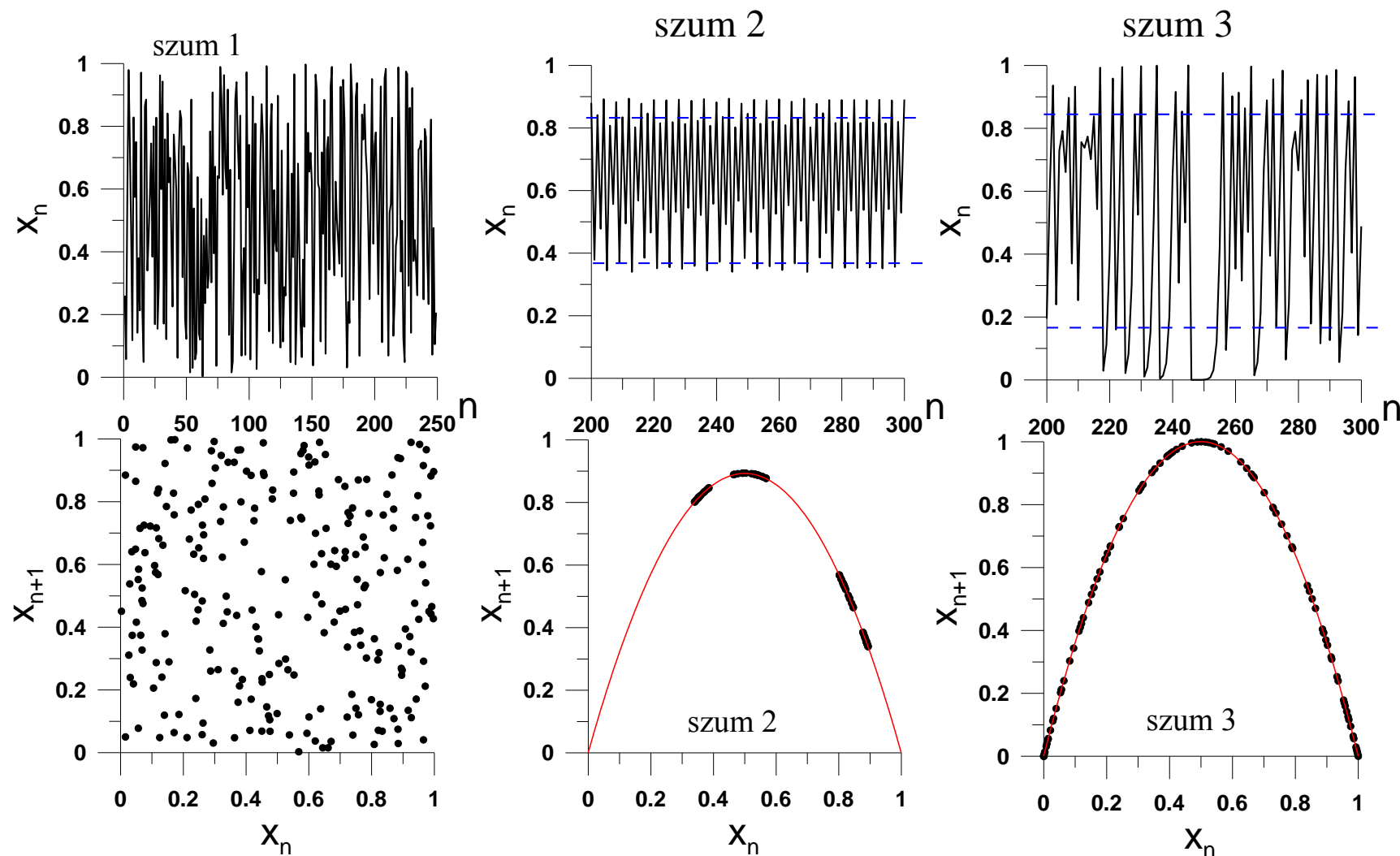
Przykład: Trzy przykładowe sygnały tego typu.



Zbadajmy korelację pomiędzy kolejnymi elementami każdego z tych sygnałów tworząc [odwzorowanie](#)

$$x_{n+1} = f(x_n)$$

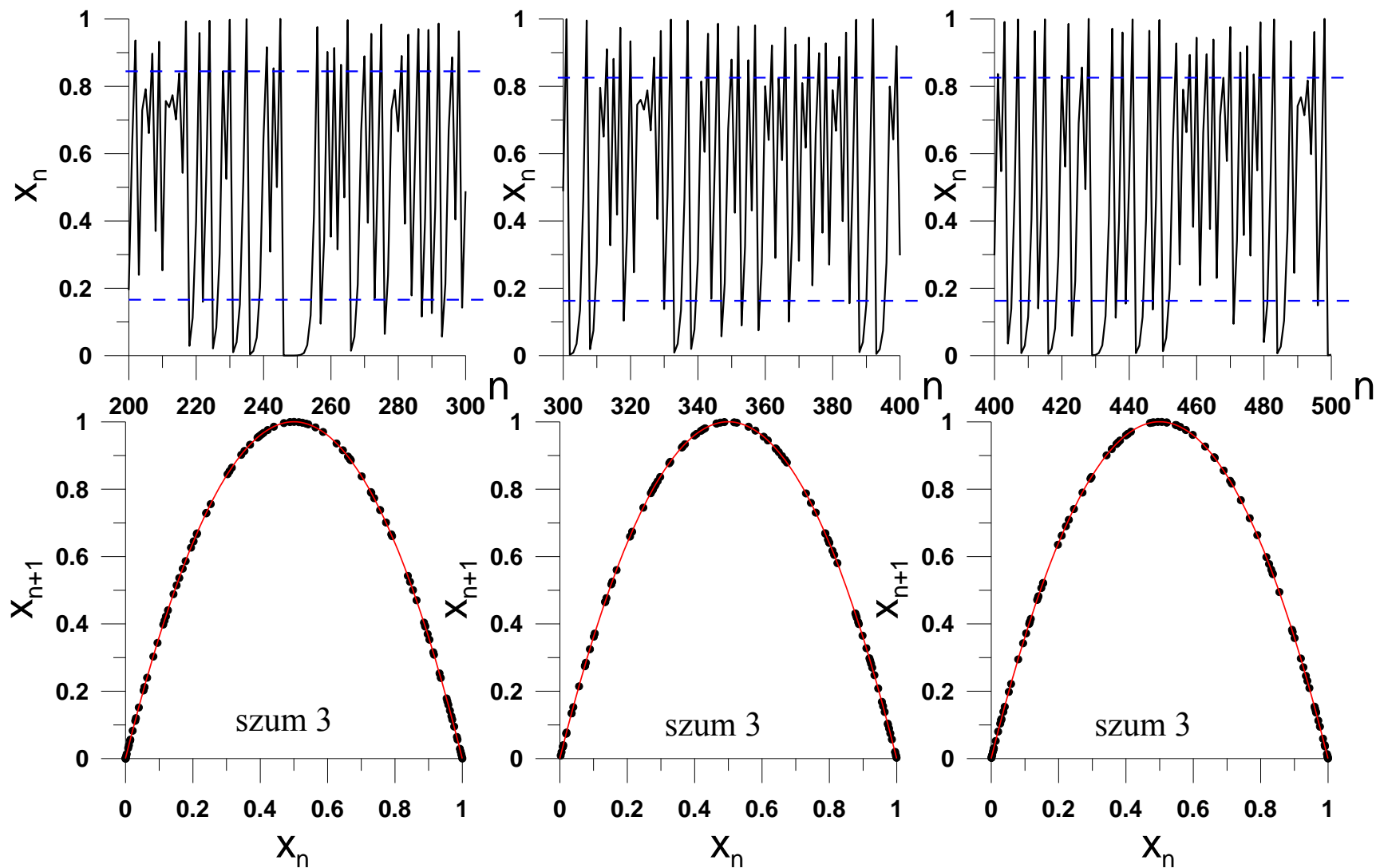
Do tego celu wystarczy odpowiedni wykres:



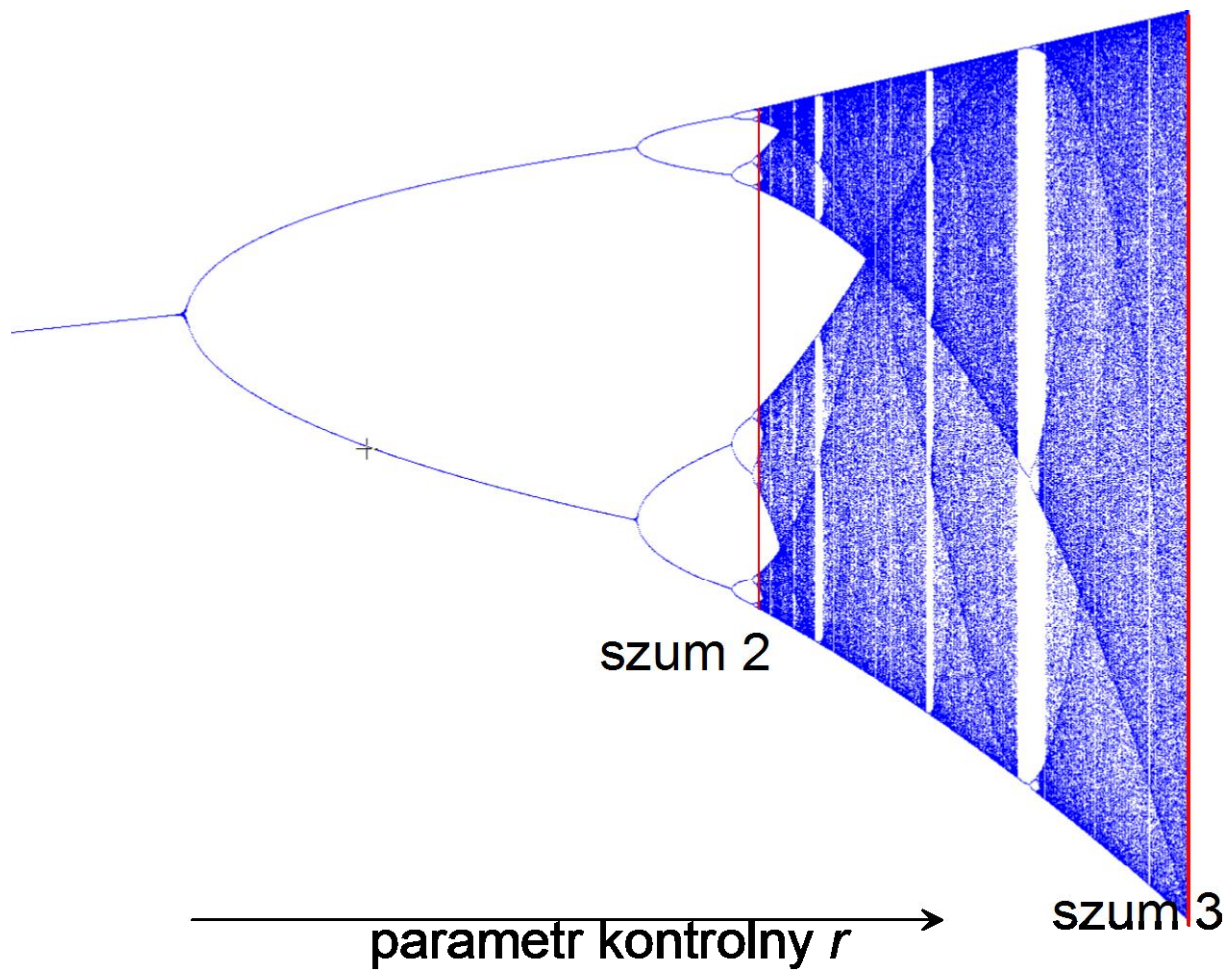
standardowy generator liczb losowych

$$x_{n+1} = 3.575x_n(1-x_n)$$

$$x_{n+1} = 4.0x_n(1-x_n)$$

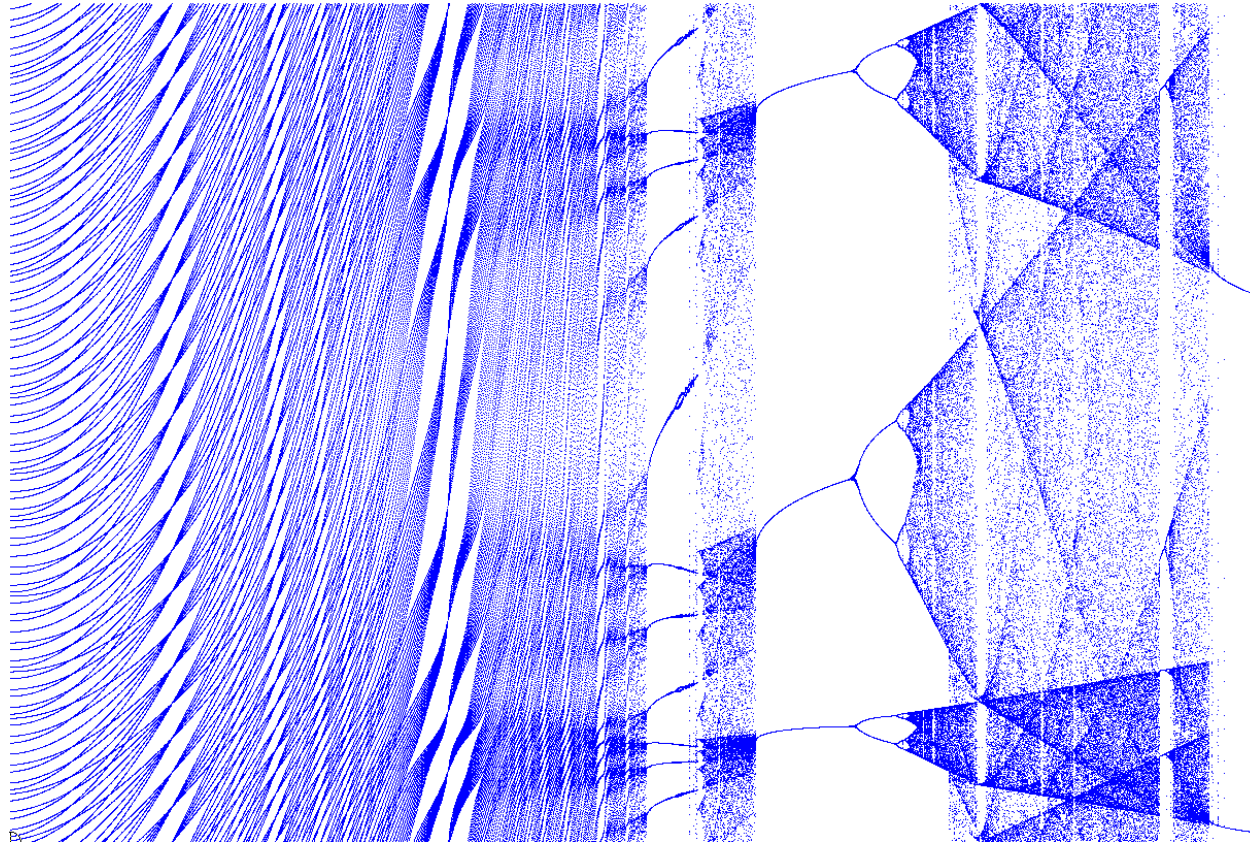


Wniosek: ewolucja w czasie układu deterministycznego może być nieprzewidywalna



Wykres (diagram) bifurkacyjny odwzorowania logistycznego $x_{n+1} = r x_n (1 - x_n)$

Takich wykresów bifurkacyjnych jest bardzo wiele różnych. Na przykład dla tzw. odwzorowania okręgu:



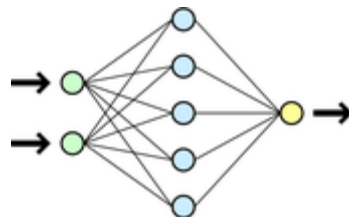
Widoczne raptowne przejścia (bifurkacje) pomiędzy rodzajami rozwiązań są to przejścia fazowe z dala od stanu równowagi.

Zjawiska nieprzewidywalne występują nie tylko w układach dyskretnych (odwzorowania dyskretne) ale przede wszystkim w układach z czasem ciągłym.

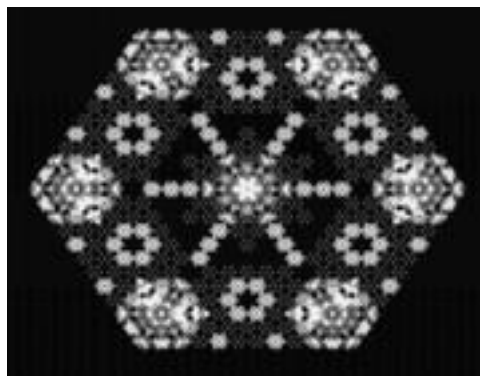
Przykład: program **Dynamics Solver** (<http://tp.lc.ehu.es/jma.html>), examples: Lorenz attractor.ds

Z dynamiką nieliniową związanych jest szereg innych dziedzin:

➤ sieci neuronowe



➤ automaty komórkowe

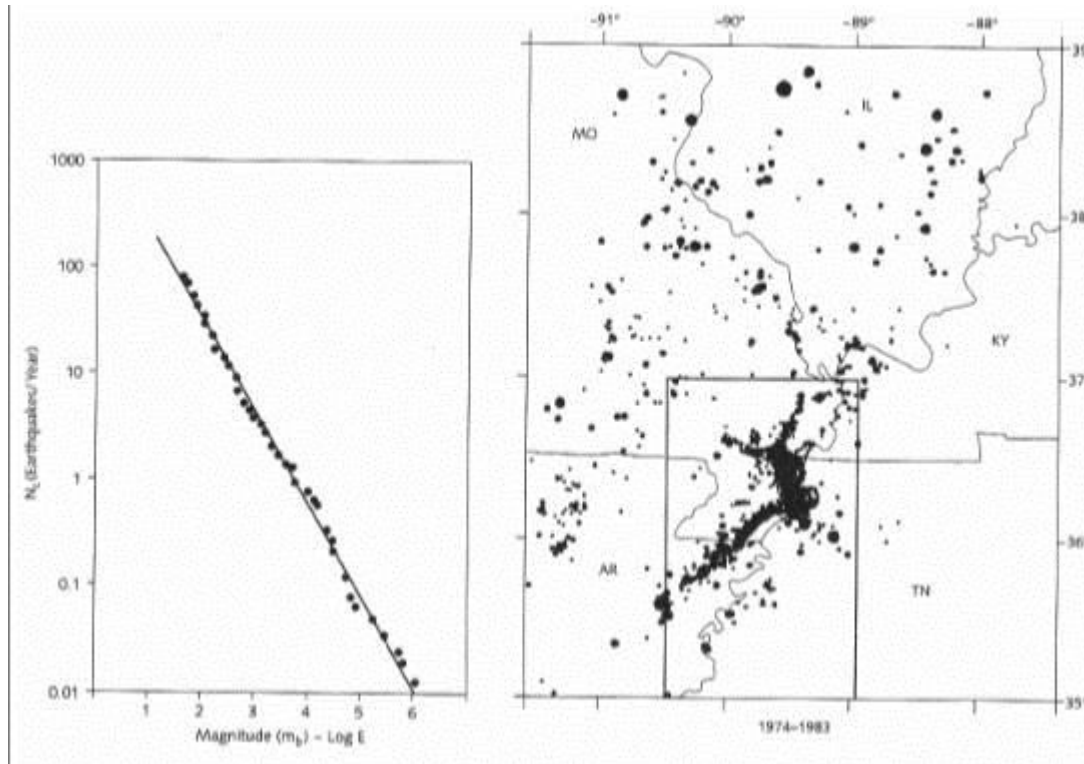
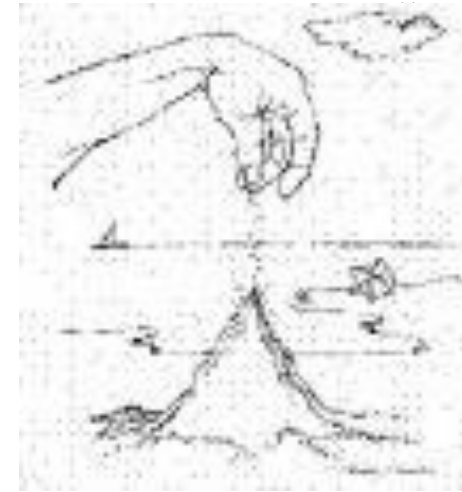


➤ samoorganizująca się krytyczność (self-organized criticality SOC) {hyperlink: http://en.wikipedia.org/wiki/Self-organized_criticality}

jedna z klas automatów komórkowych

Własności:

- prawa potęgowe np. skala trzęsień ziemi (skala Richtera)



Na prawym rysunku: występowanie trzęsień ziemi na pewnym obszarze.

Na lewym: wykres częstości tych trzęsień w stosunku do ich magnitudy (wielkości).

- geometria fraktalna

- szum typu $1/f^\infty$

Ale też wiele innych nie związanych bezpośrednio z fizyką jak:

- **filotaksja** (sposób, w jaki liście rozmieszczone są na łodydze, z uwzględnieniem ich pozycji względem siebie: skrętoległe i okółkowe). Liczba liści oraz łusek szyszki są liczbami Fibonacciego

$$F_n = \begin{cases} 0 & \text{if } n = 0; \\ 1 & \text{if } n = 1; \\ F_{n-1} + F_{n-2} & \text{if } n > 1. \end{cases}$$

F_0	F_1	F_2	F_3	F_4	F_5	F_6	F_7	F_8	F_9	F_{10}	F_{11}	F_{12}
0	1	1	2	3	5	8	13	21	34	55	89	144



- budowa liścia
a pękanie wysychających żeli

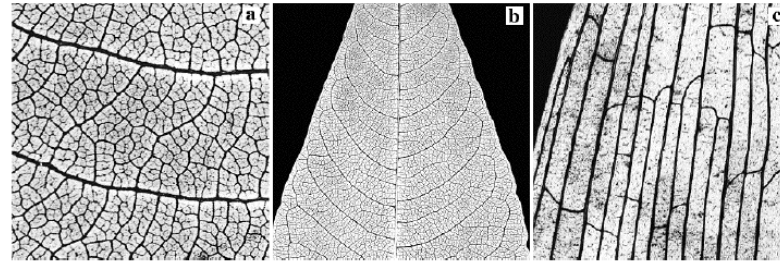


Fig. 1. Three examples of venation patterns. (a) The polygonal net-like structure of the small veins of a leaf of *Polygonum Polystachium*. (b) The secondary veins of *Polygonum Polystachium* are all connected to each other by loops located near the leaf margin. This is the 'brochidodromous' organisation [10]. (c) A detail of the venation of Lily of the valley, *Convallaria Maialis*, a monocotyledon.

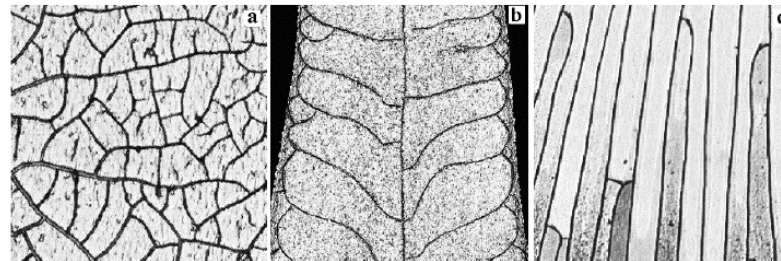


Fig. 3. (a) A pattern of cracks formed in a thin layer of gel, about $20 \mu\text{m}$ thick in which the drying is spatially homogeneous. The typical spacing of the cracks is $80 \mu\text{m}$. (b) The cracks resulting from the drying of a wedge shaped strip of gel deposited on a silicon wafer. (c) A pattern of cracks obtained in a gel layer having a constant thickness gradient. The drying of the gel proceeds from the thin region (at the bottom) to the thick one. When a crack stops growing it connects perpendicularly, first to one of its neighbour (top of the photograph), then to the other (bottom).

Współczesna dynamika układów nieliniowych wyrosła z 3-ch różnych ‘korzeni’:

A matematyka dyskretnych układów dynamicznych (odwzorowania dyskretne)

$$x_{n+1} = f(x_n)$$

gdzie f jest funkcją nieliniową.

Widzieliśmy już drzewo bifurkacyjne dla odwzorowania logistycznego $x_{n+1} = r x_n (1 - x_n)$.

Jest wiele innych rodzajów odwzorowań

Pokaz symulacji odwzorowań dyskretnych

Ten obszar badań upowszechnił się po wynalezieniu kalkulatora programowalnego w latach 70-tych. wcześniej była to domena (nierzaz b. trudnych) dociekań matematyków.

B układy dynamiczne z czasem ciągłym:

modele w postaci (układów) **równań różniczkowych zwyczajnych** oraz prace doświadczalne.

Na początku wykładu zademonstrowałem symulację: rozwiązanie numeryczne równania:

$$\ddot{x} + \alpha \dot{x} + \sin(\omega_0^2 x) = A \sin(\omega t)$$

To równanie jest równoważne dwóm równaniom 1-szego rzędu.

Okazuje się, że – aby otrzymać złożone rozwiązania - nie jest potrzebna tak skomplikowana nieliniowość jak funkcja sinus. Wystarczy:

$$\ddot{x} + \alpha \dot{x} + x^3 = A \sin(\omega t)$$

Pokaz: symulacja dla $A = 3.0$ (ruch periodyczny); 2.5 (ruch chaotyczny); 2.0 (inny ruch periodyczny)

Widzimy, że i w tym przypadku mamy do czynienia z oknami periodycznymi – podobnie było dla odwzorowania logistycznego.

Ważne własności nieliniowych układów dynamicznych:

➤ samopodobieństwo

➤ czułość na warunki początkowe

Program: Dynamics Solver; Examples: Duffing5.ds

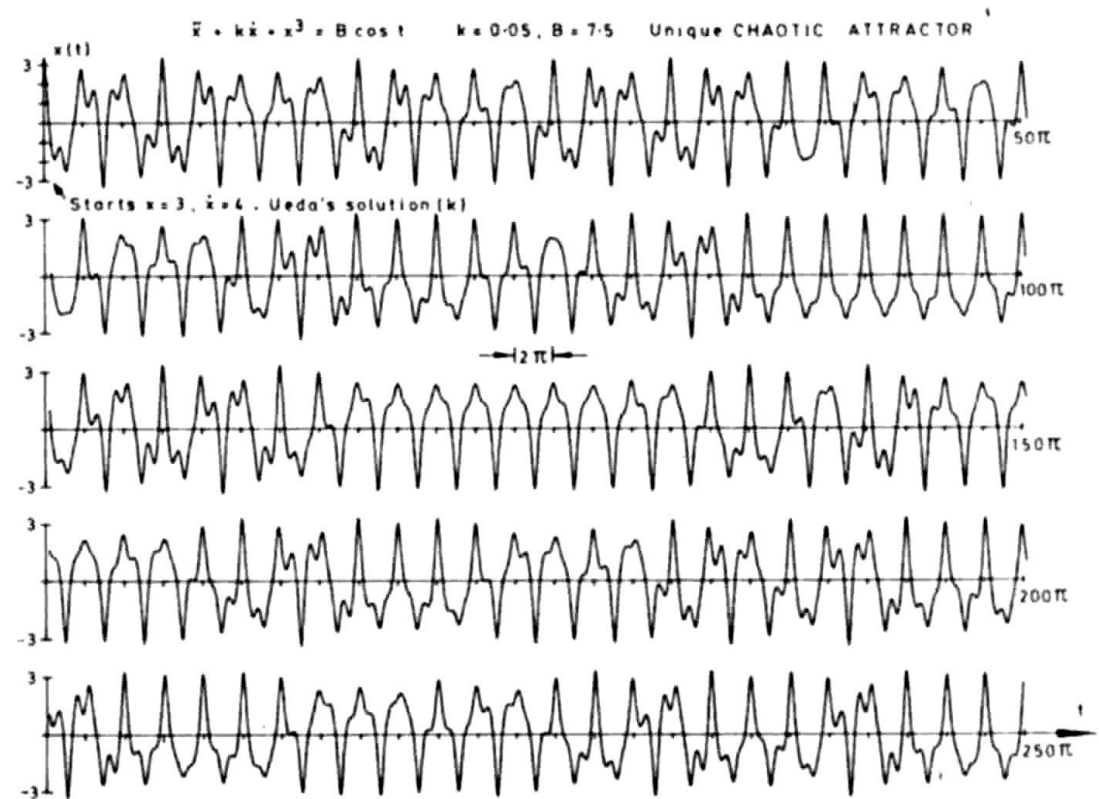


Figure 1.1 Time series of a steady-state chaotic response

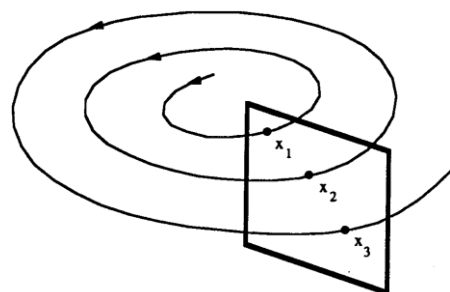
Uniwersalność w dynamice układów nieliniowych:

Pozornie różne układy dynamiczne z czasem ciągłym okazują się często należeć do tej samej klasy: łączy je wspólny charakter odwzorowania dyskretnego.

Przykład: odwzorowanie dyskretne w układzie z czasem ciągłym – reakcji chemicznej opisaney nieliniowymi równaniami kinetyki reakcji (reakcja Bielousowa-Zabotynskiego):

Przekrój Poincaré :

{[hyperlink: http://www.phy.davidson.edu/StuHome/chgreene/chaos/Pendulum/poincare_section.htm](http://www.phy.davidson.edu/StuHome/chgreene/chaos/Pendulum/poincare_section.htm)}



W tym przykładzie:

Odwzorowanie otrzymane w wyniku tej procedury ma pojedyncze, gładkie ekstremum (**odwzorowanie unimodalne**) i będzie miało bardzo zbliżone własności do m.in. odwzorowania logistycznego.

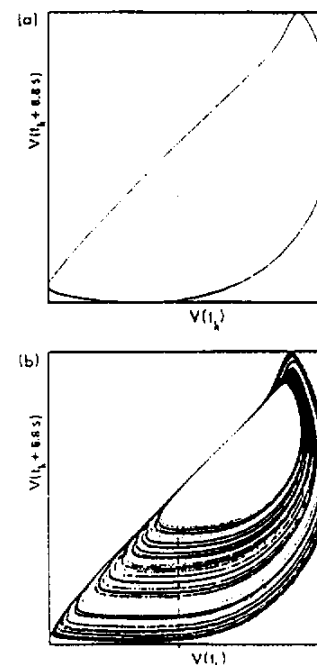


Figure 17.3 (a) A two-dimensional phase portrait for a periodic state observed in experiments on the Belousov-Zhabotinsky reaction; the corresponding power spectrum has a single sharp fundamental component and its harmonics. (b) A two-dimensional projection of a three-dimensional phase portrait (with the third axis, $V(t_k + 17.6s)$, normal to the page) for a chaotic state observed in the Belousov-Zhabotinsky reaction; the corresponding power spectrum contains broadband noise. The attractor in (a) is a limit cycle and in (b) a strange attractor.

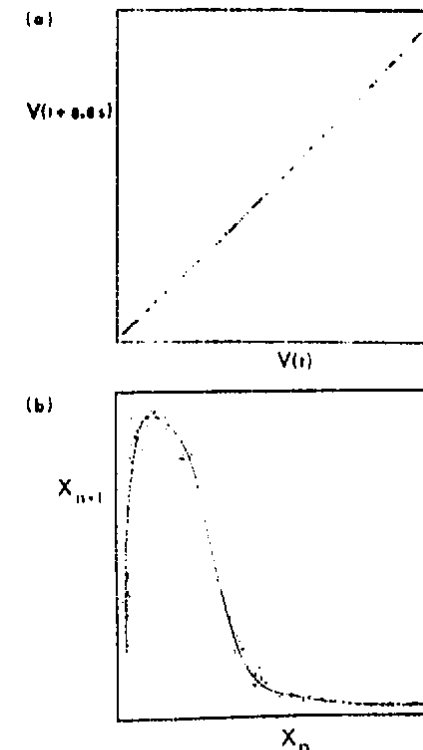


Figure 17.4 (a) A Poincaré section formed by the intersection of trajectories in a three-dimensional phase space with the plane (normal to the page) passing through the broken line in Figure 17.3 (b). (b) A one-dimensional map constructed from the data in (a).

C fizyka układów zachowawczych

Właściwie tu się wszystko zaczęło: w XIX w Poincaré zbadał ruch 3-ch ciał i pokazał, że nie jest on całkowalny tzn. nie można napisać rozwiązania w postaci zwartego wzoru nie stosując przybliżeń.

Ale czy przybliżone rozwiązania są dostatecznie dokładne?

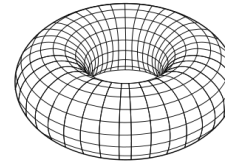
Przykład: sprzężone oscylatory [Henona-Heilesa](#)

{hyperlink: <http://mathworld.wolfram.com/SurfaceofSection.html>}

Dwa oscylatory (część całkowalna) sprzężone są za pomocą członu, którego obecność powoduje niecałkowalność, opisane są hamiltonianem (wyraża całkowitą energię mechaniczną układu):

$$H = \frac{p_1^2 + q_1^2 + p_2^2 + q_2^2}{2} + q_1^2 q_2 - \frac{q_2^2}{3}$$

Bez członu sprzężenia w przestrzeni fazowej odbywa się ruch po [torusie](#).

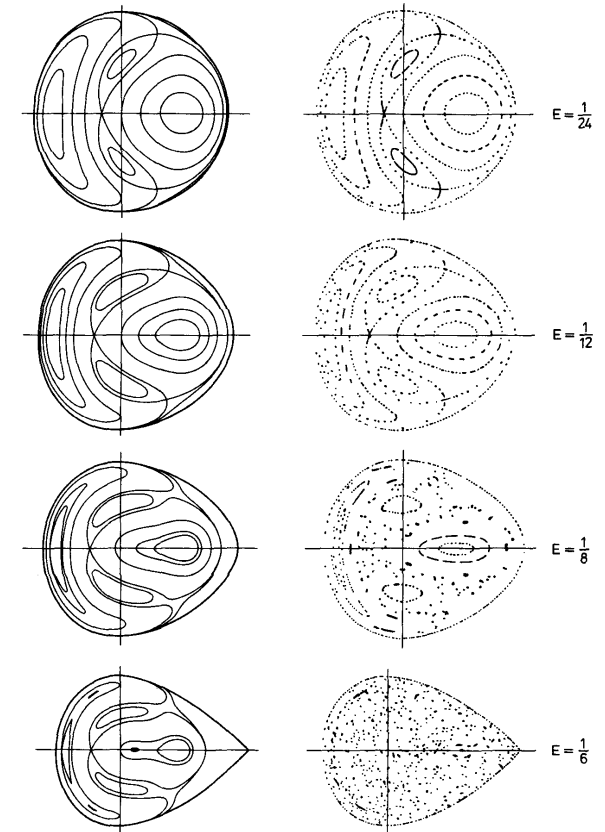


Pierwotny ruch po torus ulega skomplikowaniu pod wpływem sprzężenia pomiędzy oscylatorami.

[W kolumnie lewej rysunku](#) obok widzimy przekrój Poincaré trajektorii fazowej układu otrzymany metodą rachunku zaburzeń (6 rzęd).

[W kolumnie prawej](#) – to samo uzyskane metodami numerycznymi.

Widać, że dla wyższych energii E rozwiązanie staje się chaotyczne i nie do otrzymania metodą rachunku zaburzeń.



Rys. 139. Odwzorowanie Poincarégo dla układu Hénona-Heilesa (wg Berry, 1978)

Istotna różnica pomiędzy układami zachowawczymi a dysypatywnymi:

W układach dysypatywnych występują atraktory:

- Ograniczone obszary przestrzeni fazowej (tj. przestrzeni wszystkich zmiennych opisujących układ), do których zmierza trajektoria i na których trajektoria osiada.
- Każdy atraktor posiada zbiór warunków początkowych (**basen atrakcji**), który do niego prowadzi.

W układach zachowawczych o rodzaju ruchu decyduje warunek początkowy i ani atraktory ani baseny atrakcji nie występują.

Pokaz: czułość na warunki początkowe w układach zachowawczych

- Ruch trzech ciał
- Cząstki naładowane w kwadrupolowym polu magnetycznym

Przykład: odwzorowanie standardowe (odwzorowanie Chirikova)

$$p_{n+1} = Jp_n - K \sin(\mathcal{G}_n)$$

$$\mathcal{G}_{n+1} = \mathcal{G}_n + Jp_n - K \sin(\mathcal{G}_n)$$

Gdy $K \rightarrow 0$ jest to **zdyskretyzowana wersja równania wahadła** przy czym:

θ kąt wychylenia

p moment pędu

To samo równanie może też opisywać

ruch kulki skaczącej pionowo nad oscylującym stołem (*bouncing ball*).

Dla $J = 1$ układ jest **zachowawczy** i o rodzaju ruchu decyduje warunek początkowy (θ_0, p_0) .

Dla $J < 1$ układ jest **dysypatywny** i ma atraktor w $(0,0)$.

Pokaz: symulacja odwzorowania standardowego

Jest wiele ważnych zastosowań dynamiki układów zachowawczych.

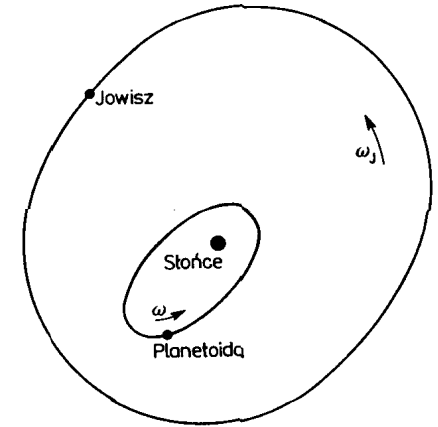
Przykład:

Nieliniowe rezonanse w układzie planetoid, Jowisza i Słońca.

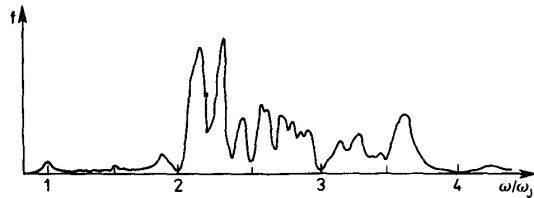
Takie zagadnienie jest niecałkowalne (problem wielu ciał w mechanice klasycznej).

Gdy stosunek częstości ω obiegu nie zaburzonego ruchu planetoidy wokół Słońca do częstości ω_J ruchu Jowisza jest liczbą wymierną (ułamek właściwy) ruch staje się niestabilny.

Konsekwencją są przerwy w gęstości planetoid – wykryte numerycznie w latach 70-tych i potwierdzone doświadczalnie przy pomocy naziemnego radaru.



Rys. 140. Zaburzenie ruchu planetoidy przez Jowisza

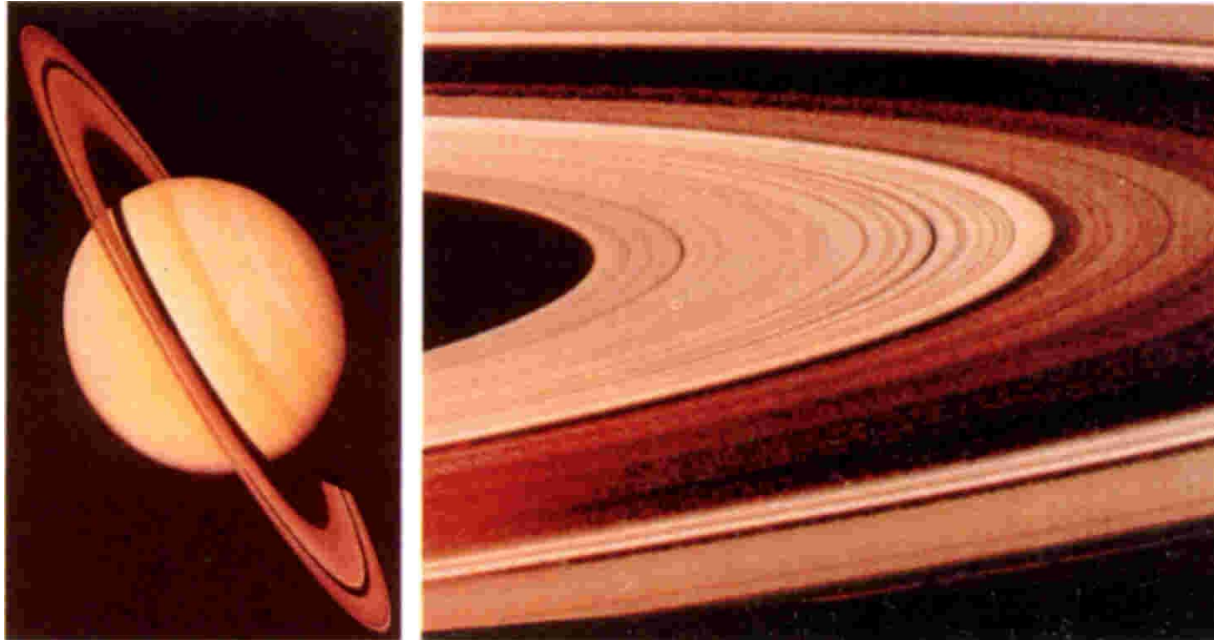


Rys. 141. Rozkład f planetoid, obserwowanych w pasie między Marsem i Jowiszem, jako funkcja ω/ω_J (wg Berry, 1978)

Przykład:

Fizyka pierścieni planetarnych

Pierścienie te powstają z podobnych przyczyn co opisane w poprzednim przykładzie. Niestabilność orbit drobnych satelitów planety wyjaśnia zarówno strukturę przerw pomiędzy pierścieniami jak (częściowo) strukturę samych pierścienie. Jednakże tej ostatniej do końca nie rozumiemy.



Przykład: stabilność wiązek w zderzaczach cząstek elementarnych

Literatura do wykładu *Dynamika układów nieliniowych*

Podręczniki Podstawowe:

- E. Ott, "Chaos w układach dynamicznych", WNT Warszawa 1997.
- H.G. Schuster "Chaos Deterministyczny - Wprowadzenie", Warszawa PWN 1993
- H.E.Nusse, J.A.Yorke, "Dynamika - badania numeryczne", PWN Warszawa 1998
- G.L.Baker i J.P.Gollub, "Wstęp do dynamiki układów chaotycznych", PWN Warszawa 1998.
- J.Kudrewicz, "Fraktale i Chaos", Warszawa, WNT 1993,

Literatura Uzupełniająca:

- ◆ J.Gleick, "Chaos - tworzenie nowej nauki", Zysk i S-ka, Poznań 1996
- ◆ I.Stewart, "Czy Bóg Gra w Kości - Nowa Matematyka Chaosu", Warszawa, PWN 1994
- ◆ J.R.Dorfman, „Wprowadzenie do teorii chaosu w nierównowagowej mechanice statystycznej”, PWN Warszawa 2001
- ◆ C.Beck, F.Schlögl, "Thermodynamics of chaotic systems – an introduction", Cambridge Nonlinear Science Series, Cambridge 1997
- ◆ I.Prigogine, I.Sanders, "Z Chaosu Ku Porządkowi", Warszawa, PIW 1990.
- ◆ Hao Bai-Lin, "Elementary Symbolic Dynamics and Chaos in Dissipative Systems", World Scientific, Singapore 1989 (ISBN 9971-50-682-3, ISBN 9971-50-698-X)
- ◆ Hao Bai-Lin, Zheng Wei-Mou, "Applied Symbolic Dynamics and Chaos", Directions in Chaos vol.7, World Scientific 1998 (ISBN 981-02-3512-7)